

## YBCO 薄膜中ナノ析出物による磁束ピン止めサイズ効果 (2)－要素的 ピン止め力の直接和によるピン止め力密度 $F_p$ の計算と考察

Effect of nanoprecipitate size on the flux pinning of YBCO thin films (2)-calculation of pinning force density  $F_p$  based on the direct summation of elementary pinning forces

産総研<sup>1</sup>, 大島商船高専<sup>2</sup> ○山崎 裕文<sup>1</sup>, 山田 博<sup>2</sup>

AIST<sup>1</sup>, Nat. Inst. Tech., Oshima College<sup>2</sup>, Hirofumi Yamasaki<sup>1</sup>, Hiroshi Yamada<sup>2</sup>

E-mail: h.yamasaki@aist.go.jp

**はじめに** 前報では、高濃度のナノ析出物を含み、そのサイズが異なる4つのYBCO薄膜(粒子サイズが  $A < B < C < D$ )について中磁界領域  $\mu_0 H = 0.5\text{--}2\text{ T}$  ( $//c$ )における $J_c$ の温度依存性を調べて、ナノ粒子サイズが小さいほど  $J_c(T) \sim (1 - T/T_c)^m (1 + T/T_c)^2$  の指数  $m$  が大きく、温度による $J_c$ の変化が大きいことを明らかにした(表1)。その起因を解明するため、理論的な解析を行った。この報告では、要素的ピン力密度  $f_p$  の直接和によってピン止め力密度  $F_p$  と  $J_c$  を計算することにより、観測された現象を合理的に説明できることを述べる。

表1 指数  $m$  の変化

	0.5 T	1 T	2 T
A	2.6	2.9	3.3
B	2.4	2.4	2.9
C	2.3	2.3	2.4
D	2.0	2.1	2.3

**要素的ピン止め力の直接和に基づく考察** まず、Ginzburg-Landau(GL)のコヒーレンス長を $\xi$ として、直径が $2\xi$ 以下の微細ナノ粒子(体積  $V$ )について、コアピン止め相互作用による要素的ピン止め力  $f_p$  を計算する[1, 2]。量子化磁束の常電導コアが粒子を含むことによって、 $(\mu_0/2)H_c^2 V$ だけ系のエネルギーが低下する( $H_c$ :熱力学的臨界磁界)。このエネルギーを、ローレンツ力で磁束がピンから外れるときのエネルギー変化が生ずる特性距離で除することによって  $f_p$  が得られるが、この場合、特性距離が $\xi$ であって、 $f_p = \mu_0 H_c^2 V / 2\xi$ となる。次に、要素的ピン力  $f_p$  からピン止め力密度  $F_p$  を計算するが、ナノ析出物のような強いピンの場合、単純な足し合わせである直接和モデルが良い近似となる[3]。 $N_p$ をピン濃度、 $\eta$ を磁束ピン止め効率として、 $F_p = \eta f_p N_p = \mu_0 \eta H_c^2 V N_p / 2\xi$ となるが、 $H//c$ では、

$$J_c = F_p / B = \eta H_c^2 V N_p / 2\xi_{ab} H \quad (1)$$

比較的サイズの大きな、直径  $a > 2\xi$  の球状ピンの場合は、特性距離が  $a/2$  で  $f_p = (\mu_0/2)H_c^2 \pi \xi^2 a / (a/2) = \mu_0 H_c^2 \pi \xi^2$ となる。 $c$ 軸に平行な円筒ピン(直径が $2\xi$ より大で高さが  $a$ )の場合、特性距離が $2\xi$ で  $f_p = (\mu_0/2)H_c^2 \pi \xi^2 a / 2\xi = (\mu_0/4)H_c^2 \pi a \xi$ となる。直接和モデルでは、球状ピン、円筒ピンの場合、それぞれ、

$$J_c = \pi \eta H_c^2 \xi_{ab}^2 N_p / H \quad (2), \quad J_c = \pi \eta a H_c^2 \xi_{ab} N_p / 4H \quad (3)$$

を得る。磁束ピン止め効率  $\eta$  が温度に依存しないと仮定すると、 $H_c(T) \sim 1 - (T/T_c)^2$ 、 $\xi_{ab}(T) \sim (1 - T/T_c)^{-1/2}$ であるため、微細ナノ粒子の場合は  $J_c(T) \sim (1 - T/T_c)^{2.5} (1 + T/T_c)^2$  となる。同様に、サイズの大きな球状ピンでは  $J_c(T) \sim (1 - T/T_c)(1 + T/T_c)^2$ 、円筒ピンでは  $J_c(T) \sim (1 - T/T_c)^{1.5} (1 + T/T_c)^2$  となる。この結果は、粒子サイズの違いによる  $J_c(T)$  の違いを定性的に説明する。磁界依存性について、70 K以上の高温度で  $J_c \propto 1/H$  となり(図1)、 $\eta$  が磁界に依存せず一定( $\approx 1$ )であると解釈される。低温度では  $J_c \propto 1/H^{1/2}$  となるが、磁束線の直径が小さくなつてピン効率が悪くなり、 $\eta$  が磁束格子間隔  $a_0 = 1.07(\phi_0/B)^{1/2}$  に反比例するからと考えられる。

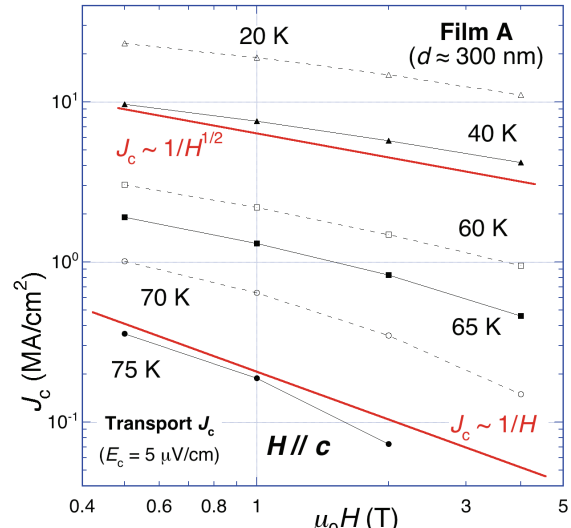


図1 YBCO 薄膜Aの $J_c$ の磁界依存性

文献 [1] H. Yamasaki et al: Supercond. Sci. Tech., **21** (2008) 125011. [2] H. Yamasaki: ibid. **29** (2016) 065005. [3] C. Meingast & D. C. Larbalestier, J. Appl. Phys. **66** (1989) 5971.